

重庆市煤炭工业管理局瓦斯研究所編

預 防  
煤与瓦斯突出經驗

---

煤炭工业出版社

1379

## 預防煤与瓦斯突出經驗

重庆市煤炭工业管理局瓦斯研究所編

\*

煤炭工业出版社出版(社址: 北京东长安街煤炭工业部)

北京市書刊出版业营业許可證出字第084号

煤炭工业出版社印刷厂排印 新华書店发行

\*

开本 787×1092 公厘 $\frac{1}{16}$  印张 2 $\frac{1}{8}$  字数 41,000

1960年1月北京第1版 1960年1月北京第1次印刷

统一書号: 15035·1032 印數: 0,001—4,000册 定价: 0.24元

## 前　　言

重庆市煤炭工业管理局直属各矿均系二迭纪煤层，超級瓦斯矿井，有煤与瓦斯突出的危险。由于矿井开采逐渐向深部发展，煤与瓦斯突出的威胁日益严重，有的突出强度很大，同时所发生的突出现象也是多种多样的。

党和政府对重庆地区煤矿煤与瓦斯突出問題十分重视。重庆管理局及其直属各矿均建立了专门的瓦斯研究机构。在苏联瓦斯专家的无私帮助下，我所与煤炭部撫順科學研究院和重庆大学采矿系共同进行防止煤与瓦斯突出的研究工作。几年来，在工作中积累了一些資料，并得出了一定的結論，我們把 1959 年 10 月以前的一部分資料分成几个专题整理出来，以供有关的工作同志参考。錯誤的地方，希望予以指正。

重庆市煤炭工业管理局瓦斯研究所

一九五九年九月三十日



## 天府煤矿磨心坡矿井开采保护层 结合抽放瓦斯经验

天府煤矿磨心坡井是一个有煤与瓦斯突出危险煤层的矿井。1958年，由于生产大跃进和对煤炭的需要急剧增加，磨心坡井便提前投入生产。为了保证矿井的安全生产，矿党委首先作出了要大力进行开采保护层和抽放瓦斯来防止煤与瓦斯突出的决定。由于党和上级的重视，矿上成立了瓦斯研究小组，专门进行这方面的试验研究工作。首先，根据磨心坡井的具体条件，选择K<sub>7</sub>作为K<sub>9</sub>的保护层，并同时结合保护层的开采进行抽放瓦斯，当时，虽然经验不足，设备受到限制，但全体职工在党的领导下，发挥冲天干劲，克服技术上的困难，终于成功地抽出了瓦斯。

为了进一步开展开采保护层及瓦斯抽放的科学的研究工作，使其更广泛地、合理地运用到生产上去，保证瓦斯突出煤层在安全的条件下，正常进行生产。1959年初，我矿与抚顺煤炭科学研究院、重庆大学等单位协作，并在重庆煤炭工业管理局瓦斯研究所的直接指导下，开展了这方面的科学的研究试验工作。一年来对开采保护层，抽放瓦斯效果进行了考察，同时也测定了抽放瓦斯工程方面所用的一些参数。这给今后抽放瓦斯及开采保护层都会提出合理的依据。

## 一、一般情况

### (一) 矿区的地理、地质简况

天府煤田呈带状，南起白庙子，北至核桃湾，全长19公里。矿中心区位于文星场以北一公里处，属于重庆市北碚区，距重庆40余公里。

表 1

編 号	名 称	厚 度	描 述
K <sub>1</sub>	背 連	0.20	南北井田背連不可采
K <sub>2</sub>	小 独 連	0.61	南北井田局部可采
K <sub>3</sub>	双 連 子	0.5—0.45	为一复合层南北井田天板炭約0.5米厚，中央层0.7米底板炭0.45米变化甚大
K <sub>4</sub>	臭 炭	0.4	厚度变化大由0.75米到尖灭，故南北井均不采
K <sub>5</sub>	大 独 連	0.75—0.35	为主要开采煤层之一，亦为复合层，天板炭厚0.75米中央矸子0.65米底板炭0.35米
K <sub>6</sub>	外石天平	0.43	南井厚0.43米可采北井厚0.28米不可采
K <sub>7</sub>	野 炭	0.66	厚度变化大南北井田局部可采，煤質好，可炼焦
K <sub>8</sub>	內石天平	0.25	不可采层
K <sub>9</sub>	大 連 子	3—4	为本煤田的主要煤层，煤質优良，儲量大約占总儲量的 $\frac{1}{2}$ 左右。其頂板为灰黑色，薄片狀頁岩含黃鐵矿結核，底为白色泥質頁岩
K <sub>10</sub>	砂 連	0.4	不可采

天府煤田屬二迭紀乐平煤系，煤田位于观音峡背斜层北段，背斜軸向一般为北 $22^{\circ}$ 东，南端为北 $30^{\circ}$ 东。向北渐变为北 $18^{\circ}$ 东。背斜軸部为一组断层所切割，位偏东，故东翼上部煤层被切割破碎不能开采。西翼正常，現仅开采西翼。西翼岩层走向与背斜軸的走向基本一致，岩层倾角

55~60°。井田全长13.2公里，划为南北两个井田，中以龍厂平峒为界。南井田长5.8公里，北井田7.4公里。煤田共含煤十层，現将各层分别叙述如表1。

前六层煤称为外連組，后四层煤称为內連組。目前，在南井田开采的是K<sub>2</sub>、K<sub>3</sub>、K<sub>5</sub>、K<sub>7</sub>、K<sub>9</sub>煤层，北井田开采的是K<sub>3</sub>、K<sub>5</sub>、K<sub>9</sub>煤层，未开采的煤层，因厚度变化大，无开采价值，故未采(图1)。

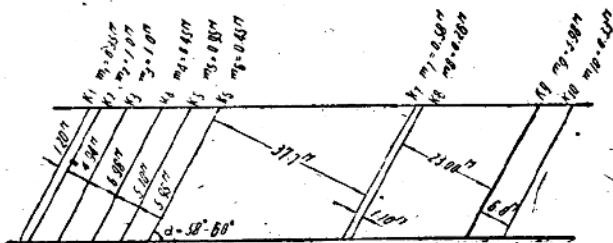


图1 磨心坡煤系剖面图

## (二) 开拓与生产情况

天府煤矿进行正规开采，已历时20余年。現在分南北两井开采。北井田生产井口設篋厂，标高470米。分两翼回采，南翼长1476米，北翼长5524米，目前开采水平350米。

南井田生产井口設在峰厂，标高490米。也分两翼回采，南翼长5489米，北翼长1899米。目前开采水平330米，K<sub>9</sub>煤层已采完，为繼續生产，已在标高230米水平的磨心坡平峒建立井口，現已投入生产，正开采K<sub>7</sub>、K<sub>9</sub>煤层，

$K_2$ 、 $K_3$ 、 $K_5$ 煤层正在作准备。现将全矿各煤层采煤方法及顶板管理列于表2中。

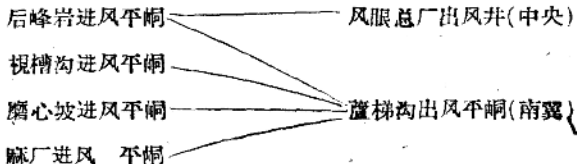
表 2

	采煤方法				顶板管理		
	南井田		北井田	南井田		北井田	
	一井	磨井	三井	一井	磨井	三井	
$K_2$ (小独连)	倒台阶		不可采	自然沉降			部份充填
$K_3$ (双连子)	倒台阶		倒台阶	部份充填			部份充填
$K_5$ (大独连)	倒台阶		倒台阶	部份充填			部份充填
$K_6$ (石天平)	倒台阶		不可采	自然沉降			
$K_7$ (野炭)	倒台阶	掩护支架	不可采	自然沉降	部份充填	人工放顶或隔落	人工冒顶、竹笆假顶、人工放顶
$K_9$ (大连子)	短壁	短壁式	掩护支架	人工放顶			

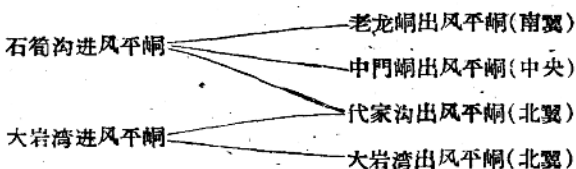
### (三) 通风瓦斯情况

1. 通风情况 南北井田均采用混合式通风系统，阶段水平的主要运输巷，为上一水平的主要进风道；又是下一水平的主要回风道， $K_7$ 、 $K_9$ 两层的主要进风道都布置在 $K_9$ 底板的 $K_{10}$ 层（砂连层）或茅口石巷中， $K_2$ 、 $K_3$ 、 $K_5$ 、 $K_6$ 各层共用一个进风道，一般布置在外连最底层石天平巷道中，南北井田通风井口如下所示：

南井田：



### 北井田：



2. 瓦斯概况 天府煤矿是超级瓦斯矿井，又有煤与瓦斯突出危险。历年来，瓦斯事故是十分严重的，据不完全统计，自1939年以来，共发生瓦斯事故64次（不包括突出事故），解放前平均每年约有五次瓦斯事故。煤与瓦斯突出在解放前没有资料可查，解放后1951年起才有突出记载，到59年上半年止，共突出25次，突出煤量912吨，平均强度36.5吨，最大121吨，最小2吨。到目前为止，全部突出均在K<sub>9</sub>煤层里发生。

历年各煤层相对瓦斯涌出量、南北井田瓦斯涌出情况如表3、4所示。

近年来煤层相对瓦斯涌出量(米<sup>3</sup>/吨·昼夜) 表 3

鑑定时间	K <sub>9</sub>	K <sub>2</sub>	K <sub>3</sub>	K <sub>5</sub>	K <sub>6</sub>	备 註
1953. 4	22.2		17.0		20.6*	
53.10	35.59			11.70	15.95	
54. 4	36.62		17.85	10.84		
54.10	55.52		26.10	11.64	8.98	
55. 4	47.07	25.88		14.52		
55.10	38.28	22.32	19.84	15.17	23.31	
56. 4	47.78	21.63	19.36	15.34	12.52	
56.10	42.69	11.56	19.16	18.66	11.38	
57. 4	34.74	18.38	21.10	19.48		
58.10	38.71	18.80	20.90	13.01	18.87	
59. 4	25.00	18.20	7.10	10.90	27	磨心坡抽K <sub>9</sub>

南北井田历年瓦斯涌出量

表 4

井別 涌 出 日 期、 情 況	南 井			北 井			備 註
	日 產 量	每分鐘 瓦斯 涌出量	相對 CH <sub>4</sub> 涌出量	日 產 量	每分鐘 CH <sub>4</sub> 涌出 量	相 對 涌出量	
1952. 4	817.8	14.22	25.00	311.7	7.89	36.94	
52.10	431.1	9.17	30.6	347.8	6.96	28.81	
53. 4	696.1	9.05	18.71	472.1	3.44	10.48	
53.10	868.5	13.13	21.79	555.3	8.81	22.85	
54. 4	856.3	10.04	16.88	525.9	12.33	33.75	
54.10	648	14.74	31.03	507	10.53	29	
55. 4	616.7	21.26	49.72	612	14.28		
55.10	809.3	19.06	33.94	616.7	14.69		
56. 4	752.4	18.64	35.72	563.7	11.73		
56. 8	814.2	20.31	35.92	691.4	15.89		
57. 4	861.3	23.93	40.01	891.8	3.82		
57. 8	1001	21.42	29.98	922.5	14.71		

## 二、保护层效果的考察

天府煤矿自1951年第一次煤与瓦斯突出后，才开始知道煤与瓦斯突出的概念。从此，给现场提出了新的课题——同煤与瓦斯突出作斗争。矿上成立了瓦斯研究小组，开辟瓦斯实验区，积极寻求防止煤与瓦斯突出的有效措施。几年来，在掌握煤与瓦斯突出的一般规律、突出预兆方面积累了一定资料；运用国内外已有的科学技术成就和先进经验来防止煤与瓦斯突出，已取得初步成效。但是，随着生产规模的不断扩大，开采深度不断增加，瓦斯威胁就越来越严重。为了保证矿工的安全和生产时不受阻碍，寻找出更为有效的防止煤与瓦斯突出的措施——开采保护层，还是1958年生产大跃进中的事情。

1958年，生产大跃进，对煤炭的需要急剧增加，磨心坡井要求提前投入生产。为了保证磨心坡井的安全生产，矿党委首先作出要大力开采保护层和抽放瓦斯的决定，并得到重庆市煤管局的重视与支持，遂交由瓦斯研究组负责进行这方面的试验研究工作。在磨心坡井的条件下，选择K<sub>7</sub>作为危险煤层K<sub>9</sub>的上保护层，集中人力、物力，进行保护层回采工作的准备。于1958年10月正式投入生产。同时，为了考察保护层开采以后的保护效果，在K<sub>7</sub>南翼的第一、二煤场内向K<sub>9</sub>煤层打钻（钻孔是为了抽放瓦斯用的，顺便测K<sub>9</sub>的瓦斯压力，考察其保护效果），测K<sub>9</sub>煤层的瓦斯压力，并考察保护层推过以后，瓦斯压力的变化。初步证明，保护层是起作用的。今年初，制定了考察保护层效果的具体计划和方法，对保护层的效果和作用作了更为深入的研究。

我们是从下面三个方面来考察保护层的效果。

(一) 保护层工作面的推进与K<sub>9</sub>煤层内瓦斯压力的变化关系 保护层开采以前，在K<sub>7</sub>南巷第二煤场内向K<sub>9</sub>煤层打三个直径为73毫米的钻孔(图2)。用水泥沙浆堵孔后，安上压力表，等瓦斯压力上升稳定后，再观察瓦斯压力下降与保护层工作面推进的关系。其结果见图3。

由图3可以看出，当保护层工作面推至钻孔前1~3米时，瓦斯压力开始下降，直到保护层工作推过钻孔10米后，瓦斯压力下降至零或一定数值稳定下来。由于危险煤层内的瓦斯压力降低，瓦斯潜能也就降低了，因而突出的威胁也就大大减少。

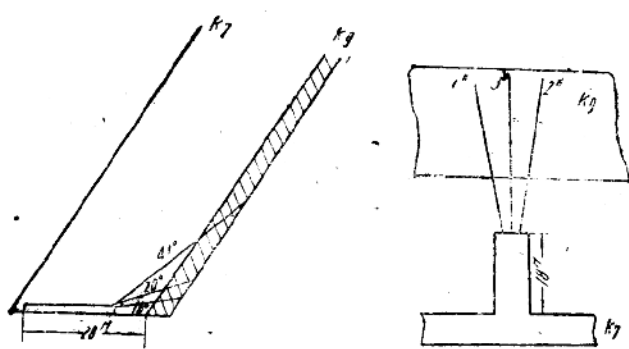


图 2  $K_7$  南巷第二巷场钻孔布置图

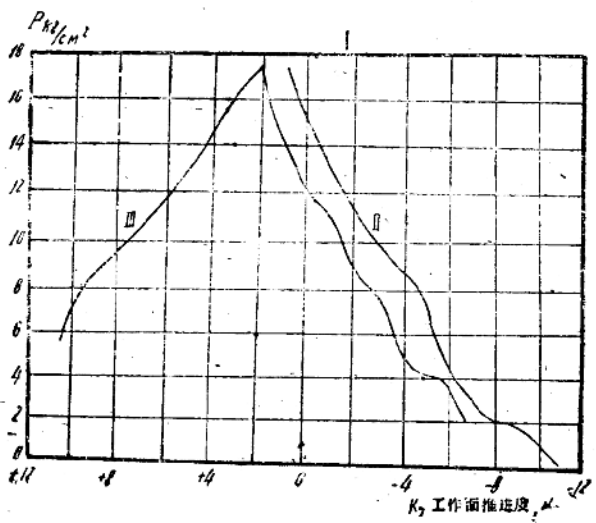


图 3

由图3也不难看出，这次考察工作还不够理想，瓦斯压力上升后，没有稳定阶段就急速下降了。分析其原因有二：一是测压时间太晚，正在测压时，保护层工作面已推到鑽孔附近，所以1#孔压力不大，未列在图上，2#、3#孔压力較大，仍欠完整。另一个原因是堵孔質量不高，当时只用水泥沙漿堵孔2.5米，且不够严密，因而压力升不高，下降也快。为了补就这一点，我們又在K<sub>7</sub>南第九鑽場內只打了一个孔(长20米)，用內径2~3毫米的紫銅管来测压，用黃泥、木塞堵孔9米(原計劃一直堵到煤层，由于技术不够熟練，未完成計劃)，装上压力表开始时，压力上升很快，后来逐渐变慢，直到35公斤/厘米<sup>2</sup>左右稳定下来。当保护层工作面推到距鑽孔3米时，瓦斯压力急速下降，直到保护层工作面推过距鑽孔6米左右，瓦斯压力下降6公斤/厘米<sup>2</sup>左右稳定下来。現在保护层工作推过鑽孔已經20米，仍保持6公斤/厘米<sup>2</sup>(图4)，这可能就是K<sub>9</sub>煤层的残余瓦斯压力。

在这次考察工作中，瓦斯压力下降的初速度仍然很快，經检查，发现压力表漏气(刚在瓦斯压力下降时就漏气的原因尚未检查出来)，虽然及时修理，对于正确反应K<sub>9</sub>煤层瓦斯压力变化关系，仍会有影响。但是压力下降的趋势，不能不是保护层开采以后所起到的作用。

测定煤层内瓦斯压力，并考察其与保护层工作面推进的变化关系，是考查保护层效果的主要参数，并尽量使所测得的瓦斯压力能代表煤层的实际瓦斯压力，因此，在选择鑽孔的位置、角度及堵孔方法等均应有較高的要求。

鑽孔最好布置在地質正常（无断层、褶曲、地質破坏、煤层厚度变化等）地带。鑽孔超前于保护层回采工作面的最小距离，应以鑽孔封堵完毕后，测定的瓦斯压力达到稳定阶段来确定。鑽探距危险煤层的距离，視其围岩性质而定，一般不应太近，因掘进、鑽探时的爆破工作，可能使岩石产生裂縫，瓦斯从裂縫中逸散，影响測压結果的正确性太远了堵孔有困难。

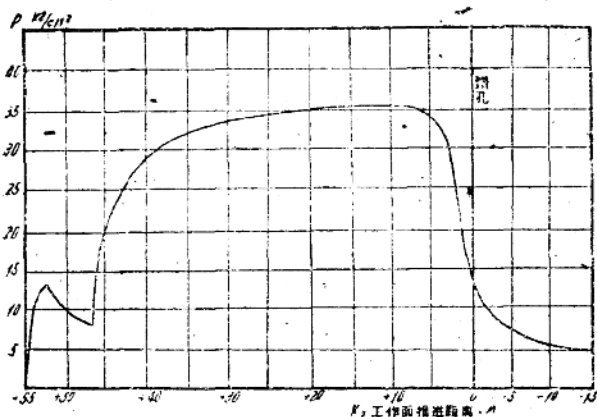


图 4

堵孔質量的好坏，直接关系到測压的正确性，因此，在选择堵孔方法及堵孔材料时，应特別注意。根据我們的体会，測压管最好选用內径 2~3 毫米或 5~6 毫米的紫銅管，以及內径在10毫米以下的鐵管。各种材料的測压管以少有接头为最好。在紫銅管的头部焊接压力接受器，1吋管子长 300 毫米左右，其上鑽小孔，瓦斯压力即由小孔进

入紫銅管。圓擋板比孔徑稍小，用以阻止堵孔材料。堵孔材料主要是黃泥，應在地面進行加工。堵孔時應有耐心，送一段黃泥，打緊後，再送一段，每段長100~200毫米左右。相距0.5~1.0米，可加以木塞或石膏以增加其強度，在孔口宜多堵石膏或混凝土。假如測壓孔角度很大，其測壓方法和堵孔材料均應相應地改變。

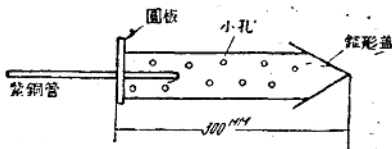


图 5 压力接受器

堵孔材料應堵入煤層0.2~0.3米左右。

紫銅管和壓力接頭可以用固定的，也可以用活動的，均應在地面作好。最好在壓力表接頭處加一高壓閥門，以便檢查壓力表或更換壓力表時不致跑氣。打完鑽孔後應立即堵孔，以免氣體逸散。

當打鑽堵孔完毕後，剩下的工作就是測定瓦斯壓力。如果條件具備，宜一班測一次（特別是在壓力上升和變化階段），但不能少於一昼夜一次。測壓的同時，應觀測保護層工作面對鑽孔的距離，把它們記錄在表格上。有人往往對此不注意，不測定保護層工作面的實際推進速度，而用月進度來平均計算；或觀測時不認真，誤差很大，這些都會影響考察工作的正確性。

(二) 保護層工作面推進與鑽孔瓦斯流量變化的關係  
今年四月在K<sub>7</sub>南翼第六鑽場測定保護層工作面推進與鑽

孔瓦斯流量变化的关系，借以考察保护层的效果和作用。

测定工作是这样进行的。当保护层工作面还未到第六鑽場以前，便在鑽場內的瓦斯支管上安装孔板式流量計，利用气体通过流量計时所产生的压力损失 ( $\Delta h$ ) 代入公式中計算。我們用的公式根据流量計的不同尺寸，分別用

$$Q = K a \sqrt{\Delta h} \text{ 平方米/分}$$

和 
$$Q = K F \sqrt{\frac{2g\Delta h}{\gamma}}, \text{ 立方米/秒}.$$

式中  $\Delta h$ ——气体通过流量計时所产生之压力损失，毫米水柱；

$K$ ——孔板损失系数；

$a$ ——沼气浓度系数；

$F$ ——流量計小圓孔之面积，平方米；

$\gamma$ ——瓦斯容重，取流量計附近的瓦斯試驗，經過气体分析其成分后确定；

$g$ ——重力加速度，9.81米/秒<sup>2</sup>。

經過計算后尚需作温度、气压的校正。

$$Q_{校} = Q_{計} \sqrt{\frac{P_1 T_0}{P_0 T_1}},$$

式中  $Q_{校}$ ——标准条件下的沼气量；

$Q_{計}$ ——直接測量的沼气量；

$P_1$ ——瓦斯管内的大气压力，毫米汞柱；

$P_0$ ——标准大气压力，700毫米汞柱；

$T_0$ ——絕對温度，273°K；

$$T_1 = T_0 + t$$

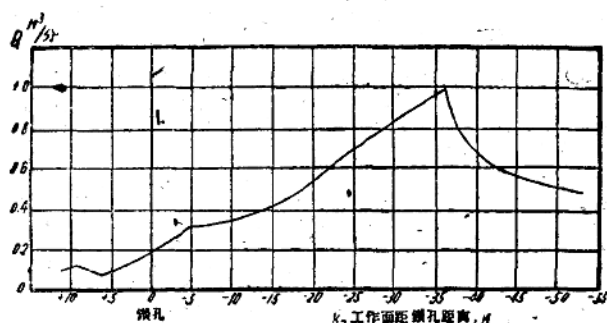


图 6

——流量計附近瓦斯管內之溫度。

經過測量計算后的結果如图 6 所示。

图 6 表明，在保护层工作面未推进到鑿孔之前，由于煤层尚未产生卸压作用，其透气性低，故其流量也小，約  $0.1 \text{ 米}^3/\text{分}$  左右。随着保护层工作面繼續推进，由于邻近层卸压的影响，使得煤层的透气性显著增大，瓦斯压力降低，原来处在吸附状态的瓦斯，也随着压力的降低而解吸成自由瓦斯，因而鑿孔中的瓦斯流量較过去有显著增加，一直到保护层工作面推过鑿孔 36 米时增加到最大，达  $1.0 \text{ 米}^3/\text{分}$ ，以后的瓦斯流量逐渐减少，这可能是抽的时间很长（40天），煤层內的瓦斯藏量越来越少。

上述測定工作是在鑿孔負压  $100\sim200$  毫米水柱的情况下进行的。

(三) 保护层与被保护层之間瓦斯涌出量的变化关系  
在单一的煤层里，回风流中的瓦斯来源是，掘进涌出瓦斯，